

## تحلیل عددی ورق های نازک مستطیلی ایزوتروپ و ارتوتروپ مبتنی بر تئوری کلاسیک صفحات به روش درون یابی نقاط به کمک توابع پایه شعاعی - چند جمله ای (RPIM)

سید محمد مهدی نجفی زاده<sup>۱</sup>، سیدمجید علوی<sup>۲</sup>، علیرضا نظام آبادی<sup>۳</sup>، محسن کوگانی<sup>۴</sup> و مهدی عباسی<sup>۵</sup>  
M-najafizadeh@iau-arak.ac.ir

(دریافت مقاله: ۸۸/۰۸/۰۱)

پذیرش مقاله: ۸۹/۰۲/۲۵

### چکیده

در مقاله حاضر یکی از روش های عددی بدون المان جهت تحلیل استاتیکی جابجایی ورق های نازک مبتنی بر تئوری کلاسیک ورقها (CPT) ارائه گردیده است. در این روش ناحیه حل مسئله، تنها توسط مجموعه ای از گره ها نمایش داده می شود و به هیچگونه مش بندی و یا المان نیاز نیست. یکی از انواع روش های بدون المان که در اینجا از آن استفاده می شود، روش درون یابی نقاط به کمک توابع پایه شعاعی - چند جمله ای (RPIM) می باشد. جهت دستیابی به معادلات حاکم از اصل همپلتون، به شکل انتگرالی تضعیف یافته گالرکین استفاده می شود. با استفاده از توابع درون یاب میدان تغییرات را تقریب زده و با قرار دادن در معادلات تعادل، همگرایی و دقت روش حاضر بررسی خواهند شد. در ادامه جوابهای روش حاضر با جوابهای حاصل از حل دقیق روشهای تحلیلی ورقها و نیز روش اجزاء محدود (FEM) مقایسه خواهد شد، همچنین تاثیرات نسبت ضخامت به طول، ضریب ظاهری و توزیع گره بررسی می شوند.

### کلیدواژه:

روشهای بدون المان - تئوری کلاسیک ورقها - روش درون یابی نقاط - شکل تضعیف یافته معادله گالرکین - تحلیل عددی

۱- دانشیار، دانشکده مهندسی مکانیک، دانشگاه آزاداسلامی واحد اراک

۲- استادیار، دانشکده علوم پایه، دانشگاه آزاداسلامی واحد اراک

۳- استادیار، دانشکده مهندسی مکانیک، دانشگاه آزاداسلامی واحد اراک

۴- کارشناس ارشد، دانشکده مهندسی مکانیک، دانشگاه آزاداسلامی واحد اراک

۵- کارشناس ارشد، دانشکده مهندسی مکانیک، دانشگاه آزاداسلامی واحد اراک

## ۱- مقدمه

توانست باتوجه به عمر کم خویش به رقابت با روش المان محدود پرداخته و جایگاه خاصی را برای خود در مکانیک محاسباتی فراهم سازند.

یکی از مسائلی که در مهندسی مکانیک همیشه مورد توجه بوده تحلیل ورق هاست برای تحلیل صفحات تئوری های مختلفی موجود است که ابتدایی ترین آنها، تئوری کلاسیک می باشد. باتوجه به اینکه برای تحلیل ورق باید معادلات دیفرانسیل بامشتقات جزئی راحل نمود و حل این معادلات در بسیاری از موارد غیرممکن است، استفاده از روشهای عددی مورد توجه قرار گرفته است، در سالهای اخیر با استفاده از روشهای بدون المان به تحلیل صفحات پرداخته شده است و مقالاتی در این زمینه ارائه گردیده است از جمله تحلیل ورق نازک توسط روش EFG [۸]، تحلیل استاتیکی و ارتعاشات آزاد ورق نازک با اشکال پیچیده [۹]، تحلیل حرارتی ورق FGM با استفاده از روش EFG [۱۰]، بررسی پایداری ورق پیزو FGM تحت بارهای مکانیکی، حرارتی و ولتاژ در مرجع [۱۱] می باشد.

بعلت سخت بودن اعمال شرایط مرزی اساسی در روش EFG و ویژگی های روش درون یابی نقاط [۱۲] در مقاله حاضر به تحلیل استاتیکی ورق با استفاده از روش RPIM پرداخته شده است و نتایج حاصل با جوابهای دقیق و اجزا محدود مقایسه گردیده و در قیاس با روش EFG دارای حداقل ۱۰ برابر دقت بیشتر می باشد.

## ۲- روش درون یابی نقاط به کمک توابع پایه شعاعی -

## چند جمله ای

این روش توسط تابع درون یاب که از مقادیر تابع در گره های داخل ناحیه حل عبور می کند، تقریبی از تابع را ارائه می دهد. تابع  $u^h(x)$  را در دامنه  $\Omega$  تعریف شده را در نظر بگیرید. این روش تابع  $u^h(x)$  را با استفاده از مقادیر گره ای در گره های داخل ناحیه اثر نقطه دلخواه  $x_0$  (که نقطه گاوس است)، درون یابی می کند. تابع  $u^h(x)$  را می توان بصورت سری محدود زیر نمایش داد [۱۳]:

$$u^h(x) = \sum_{i=1}^n R_i(x) a_i + \sum_{j=1}^m p_j(x) b_j \quad (1)$$

$$= R^T(x) a + p^T(x) b$$

در رابطه فوق  $a_i$  ضرایب توابع شعاعی  $R_i(x)$  و  $b_j$  ضرایب توابع پایه چند جمله ای  $P_j(x)$  می باشند.

$$a^T = \{a_1, a_2, \dots, a_n\} \quad (2)$$

$$b^T = \{b_1, b_2, \dots, b_m\}$$

روش المان محدود در دهه های اخیر توانایی خود را در عرصه های مختلف محاسباتی نشان داده و به همین دلیل به عنوان یکی از متداول ترین روش های حل معادلات دیفرانسیل جزیی مورد استفاده محققین و متخصصین مختلف قرار گرفته است. علی رغم موفقیت های چشمگیری که این روش در حل مسائل مختلف خطی و غیرخطی از خود نشان داده موارد مختلفی نیز وجود دارد که این روش در آنها با مشکلاتی همراه می شود [۱]. علت بروز این مشکلات به ارتباط تنگاتنگ روش المان های محدود با المان بندی مسئله بر می گردد.

در طی سال های اخیر برای این مشکلات، دسته جدیدی از روش های محاسباتی ارائه شده است که به خلاف روش المان های محدود، برای حل مسئله به شبکه بندی ناحیه مسئله احتیاج ندارند. این دسته از روش ها را روش های بدون المان یا روش های بدون مش می نامند. در اینگونه از روش ها، تنها از مجموعه ای از گره ها که در ناحیه مسئله توزیع شده، برای ساخت توابع تقریب، گسسته سازی و حل معادلات دیفرانسیل جزیی استفاده می شود. مزایای روش های بدون المان باعث شده که در سال های اخیر توجه بسیاری از محققین در زمینه مکانیک محاسباتی به این دسته از روش ها جلب شده و تحقیقات گسترده ای در زمینه خواص و کاربردهای اینگونه از روش ها انجام شود.

پیدایش ایده ی روش های بدون المان به دهه ۱۹۸۰ میلادی بر می گردد. اولین نمونه از چنین روش هایی در سال ۱۹۷۷ معرفی شد. این روش اساساً برای مدل سازی اثرات متقابل ذرات در مسائل اخیر فیزیک مورد استفاده قرار گرفت و به روش SPH<sup>1</sup> معروف شد که البته بیشتر در مورد مسائل دینامیک و مکانیک سیالات مورد توجه واقع گردید [۲]. از آن به بعد در حدود ۲ دهه تغییر و تحول خاصی در ارائه روش هایی از این دست حاصل نگردید. ولی در سال ۱۹۹۴ با ابداع روش EFG<sup>2</sup> فصل جدیدی در ابداع روش های بدون مش باز گردید. [۳] و توجه بسیاری از افرادی که در زمینه مکانیک محاسباتی کار می کردند به این بخش از مکانیک جلب شد و همین امر باعث ابداع روزافزون روش های متعدد بدون المان شد. به طوری که در سال ۱۹۹۹ روش MLPG<sup>3</sup> [۴]، در سال ۱۹۹۹ روش PIM<sup>4</sup>، [۵] در سال ۲۰۰۱ روش RPIM<sup>5</sup> [۶] و در سال ۲۰۰۷ روش LCPIM<sup>6</sup> [۷] ابداع گردیده اند و به نظر می رسد این روش ها خواهند

1 - Smoothed Particle Hydrodynamic

2 - Element Free Galerkin

3 - Meshless Local Petrov-Galerkin

4 - Point Interpolation Method

5 - Radial Point Interpolation Method

6 - Linearly conforming Point Interpolation Method

در رابطه (۶) ماتریس  $P_m$ ، ماتریس ممان نام دارد و عبارتست از:

$$P_m = \begin{bmatrix} p_1(x_1, y_1) & p_2(x_1, y_1) & \cdots & p_m(x_1, y_1) \\ p_1(x_2, y_2) & p_2(x_2, y_2) & \cdots & p_m(x_2, y_2) \\ \vdots & \vdots & \ddots & \vdots \\ p_1(x_n, y_n) & p_2(x_n, y_n) & \cdots & p_m(x_n, y_n) \end{bmatrix}_{n \times m} \quad (۸)$$

توابع پایه شامل چند جمله ای  $P_f(x)$  جهت گره‌های داخل یک ناحیه اثر خاصیت زیر را خواهند داشت [۳]:

$$\sum_{i=1}^n p_j(x_i, y_i) a_i = 0 \quad (۹)$$

و یا به شکل ماتریسی:

$$P_m^T a = 0 \quad (۱۰)$$

به علت معکوس پذیر بودن ماتریس  $R_Q$  و با استفاده از روابط (۶) و (۱۰) بردارهای ضرایب  $a$  و  $b$  به ترتیب زیر بدست می آیند:

$$a = R_Q^{-1} U_s - R_Q^{-1} P_m b \quad (۱۱)$$

$$b = S_b U_s = S_b U_s \quad (۱۲)$$

که در آن:

$$S_b = [P_m^T R_Q^{-1} P_m]^{-1} P_m^T R_Q^{-1} \quad (۱۳)$$

در رابطه فوق عبارت  $P_m^T R_Q^{-1} P_m$ ، ماتریس ممان انتقالی نامیده می‌شود. با جاگذاری رابطه (۱۲) در رابطه (۱۱) خواهیم داشت:

$$a = S_a U_s = S_a U_s \quad (۱۴)$$

که در آن

$$S_a = R_Q^{-1} [I - P_m S_b] = R_Q^{-1} - R_Q^{-1} P_m S_b \quad (۱۵)$$

بنابراین رابطه ۵ بصورت زیر بیان خواهد شد:

$$u(x) = [R^T(x) S_a + p^T(x) S_b] U_s = \Phi(x) U_s \quad (۱۶)$$

که در آن  $\Phi(x)$  ماتریس توابع شکل با  $n$  تابع شکل زیر می‌باشد:

توابع پایه  $p_j(x)$  معمولاً بصورت تک جمله‌ای‌هایی با حداقل مرتبه انتخاب می‌شوند.  $p^T(x)$  نیز بردار شامل این تک جمله ای‌ها ست. در حالت دوبعدی:

$$p^T(x) = p^T(x, y) = \{1 \quad x \quad y \quad xy \quad x^2 \quad y^2 \quad \dots \quad x^m \quad y^m\} \quad (۳)$$

که  $m$  تعداد این جمله ای‌ها می باشد.  $n$  نیز تعداد گره واقع شده در ناحیه اثر نقطه گاوس می باشد.  $R_i(x)$  بعنوان توابع پایه شعاعی معرفی می شوند.

روشهای مختلفی برای تعریف توابع پایه وجود دارد [۱۴] یکی از روش‌های متداول روش مرتبه چهار می‌باشد که اولین بار جهت تقریب زدن جواب معادلات دیفرانسیل جزئی بکار گرفته شد. در این روش توابع پایه شعاعی بصورت زیر تعریف می‌شوند:

$$R_i(x, y) = (r_i^2 + c^2)^q = [(x - x_i)^2 + (y - y_i)^2 + c^2]^q \quad (۴)$$

که در آن  $c$  و  $q$  پارامترهای شکل نامیده می‌شوند و توسط آنها شکل توابع کنترل می‌گردد. مقادیر انتخابی این دو پارامتر جهت مسائل گوناگون، متفاوت می باشد [۱۵] در این روش برای دستیابی به تابع شکل می‌بایست تعداد چند جمله‌ای توابع پایه به مراتب کمتر از تعداد گره داخل ناحیه اثر باشد ( $m < n$ ) رابطه (۱) بصورت زیر برای نقطه  $k$  قابل بیان است:

$$u_k = \sum_{i=1}^n a_i R_i(x_k, y_k) + \sum_{j=1}^m b_j p_j(x_k, y_k) \quad (۵)$$

رابطه بالا بصورت ماتریسی زیر بازنویسی می‌شود:

$$U_s = R_Q a + P_m b \quad (۶)$$

که در آن ماتریس  $R_Q$  ماتریس متقارن و معکوس پذیر زیر می‌باشد:

$$R_Q = \begin{bmatrix} R_1(r_1) & R_2(r_1) & \cdots & R_n(r_1) \\ R_1(r_2) & R_2(r_2) & \cdots & R_n(r_2) \\ \vdots & \vdots & \ddots & \vdots \\ R_1(r_n) & R_2(r_n) & \cdots & R_n(r_n) \end{bmatrix}_{n \times n} \quad (۷)$$

جابجایی در تئوری کلاسیک ورقها برای حالت بدون کشش صفحه میانی بصورت زیر بیان می شود [۱۶]:

$$u = \begin{Bmatrix} u \\ v \\ w \end{Bmatrix} = \begin{Bmatrix} -z \frac{\partial}{\partial x} & -z \frac{\partial}{\partial y} & 1 \end{Bmatrix}^T w = L_u w \quad (21)$$

روابط کرنش-جابجایی در حالت جابجایی کم (بدون در نظر گرفتن ترمهای غیر خطی ون کارمن<sup>۷</sup>) عبارتند از:

$$\varepsilon = \begin{Bmatrix} \varepsilon_{xx} \\ \varepsilon_{yy} \\ \varepsilon_{xy} \end{Bmatrix} \quad (22)$$

$$= z \left\{ -\frac{\partial^2}{\partial x^2} \quad -\frac{\partial^2}{\partial y^2} \quad -2\frac{\partial^2}{\partial x \partial y} \right\}^T w = zLw$$

روابط تنش-کرنش نیز بصورت زیر بیان شد:

$$\sigma = \begin{Bmatrix} \sigma_{xx} \\ \sigma_{yy} \\ \sigma_{xy} \end{Bmatrix} = c\varepsilon = zLw \quad (23)$$

که  $c$  ماتریس سختی است و با فرض ورق از ماده ایزوتروپیک ساخته شده باشد، بصورت زیر بیان می شود:

$$c = \frac{E}{1-\nu^2} \begin{bmatrix} 1 & \nu & 0 \\ \nu & 1 & 0 \\ 0 & 0 & \frac{1-\nu}{2} \end{bmatrix} \quad (24)$$

برای مواد ارتوتروپیک این ماتریس برای حالت تنش صفحه ای بصورت زیر تعریف می گردد [۱۷]

$$\bar{Q} = \begin{bmatrix} \bar{Q}_{11} & \bar{Q}_{12} & \bar{Q}_{16} & 0 & 0 \\ \bar{Q}_{12} & \bar{Q}_{22} & \bar{Q}_{26} & 0 & 0 \\ \bar{Q}_{16} & \bar{Q}_{26} & \bar{Q}_{66} & 0 & 0 \\ 0 & 0 & 0 & \bar{Q}_{44} & \bar{Q}_{45} \\ 0 & 0 & 0 & \bar{Q}_{45} & \bar{Q}_{55} \end{bmatrix} \quad (25)$$

که  $\bar{Q}_{ij}$  با استفاده از ماتریس انتقال زیر محاسبه می شود:

$$\Phi(x) = [R^T(x)S_a + P^T(x)S_b] \quad (17)$$

$$= [\varphi_1(x), \varphi_2(x), \dots, \varphi_n(x)]$$

$\varphi_i(x)$  تابع شکل گره  $i$  ام واقع شده در ناحیه اثر نقطه  $X_Q$  بوده و بصورت زیر تعریف می شود:

$$\varphi_k(x) = \sum_{i=1}^n R_i(x)S_{ik}^a + \sum_{j=1}^m P_j(x)S_{jk}^b \quad (18)$$

در رابطه بالا  $S_{ik}^a$  بیانگر مؤلفه سطر  $i$  ام و ستون  $k$  ام ماتریس  $S_a$  می باشد.  $S_{jk}^b$  نیز به مؤلفه سطر  $j$  ام و ستون  $k$  ام ماتریس  $S_b$  اشاره می کند.

مشتقات توابع شکل نیز به راحتی قابل محاسبه اند:

$$\frac{\partial \varphi_k}{\partial x} = \sum_{i=1}^n \frac{\partial R_i}{\partial x} S_{ik}^a + \sum_{j=1}^m \frac{\partial P_j}{\partial x} S_{jk}^b \quad (19)$$

$$\frac{\partial \varphi_k}{\partial y} = \sum_{i=1}^n \frac{\partial R_i}{\partial y} S_{ik}^a + \sum_{j=1}^m \frac{\partial P_j}{\partial y} S_{jk}^b$$

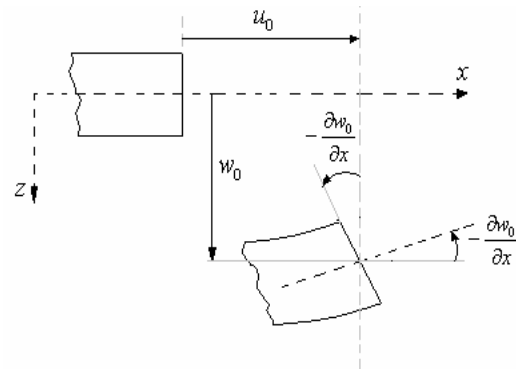
با در نظر گرفتن توابع پایه شعاعی MQ، مشتقات  $R_i$  نیز بصورت زیر محاسبه خواهند شد:

$$\frac{\partial R_i}{\partial x} = 2q (r_i^2 + c^2)^{q-1} (x - x_i) \quad (20)$$

$$\frac{\partial R_i}{\partial y} = 2q (r_i^2 + c^2)^{q-1} (y - y_i)$$

### ۳- تئوری کلاسیک ورقها

یک ورق با دامنه  $\Omega$  را مطابق با شکل (۱) در نظر بگیرید. جابجایی های  $u$ ،  $v$  و  $w$  در جهات  $x$ ،  $y$  و  $z$  مفروضند.



شکل (۱): نمای یک ورق و سیستم مختصات آن

تقریب خیز ورق مطابق روش PIM به صورت زیر در نظر گرفته می شود:

$$w^h(x_0) = \sum_{i=1}^n \varphi_i(x_0) w_i \quad (30)$$

در نتیجه:

$$L w = \sum_{i=1}^n L \varphi_i w_i = \sum_{i=1}^n B_i w_i \quad (31)$$

که در آن

$$B_i = L \varphi_i = \left\{ -\frac{\partial^2 \varphi_i}{\partial x^2}, -\frac{\partial^2 \varphi_i}{\partial y^2}, -2 \frac{\partial^2 \varphi_i}{\partial x \partial y} \right\}^T \quad (32)$$

با قرار دادن تقریب فوق در معادله تعادل (۲۹) و ساده سازی، فرم ماتریسی معادله تعادل استاتیکی به دست می آید:

$$K U = F \quad (33)$$

که  $u$  بردار متغیرهای میدانی (با مرتبه  $n_i$ ) می باشد.  $K$  نیز ماتریس سختی کل حاصل از اسمبل نمودن سختیهای گره ای (اسکالر) زیر می باشد:

$$k_{ij} = \int_A B_i^T D B_j dA \quad (34)$$

$$D = \int_{-h/2}^{h/2} c z^2 dz \quad (35)$$

ماتریس سختی کل در این قسمت بصورت یک ماتریس با مرتبه  $n_i \times n_i$  حاصل می شود که مولفه های آنرا سختی های گره ای تشکیل می دهند.  $n_i$  تعداد کل گره های موجود در ناحیه حل مسئله می باشد. باید توجه داشت که سختی گره ای  $k_{ij}$  جهت دو گره  $i$  و  $j$  داخل ناحیه اثر نقاط گاوس تعریف می شود. این سختی فقط در گره های داخل ناحیه اثر دارای مقدار بوده و اگر یک یا هر دو گره  $i$  یا  $j$  در ناحیه اثر نقطه گاوس  $x_0$  قرار نگیرند مقدار  $k_{ij}$  بین این دو گره صفر خواهد شد (بدلیل صفر شدن تابع شکل در گره ای که خارج ناحیه اثر واقع می شود).

در معادله (۳۳)،  $F$  بردار نیروی کل (با مرتبه  $n_i$ ) حاصل از مونتاژ نمودن نیروهای گره ای (اسکالر) بیان می شود. هر گاه نیروی جسمی وارد بر ورق تنها در اثر نیروی وزن  $b_z$  (و یا هر نیروی

$$T = \begin{bmatrix} \cos^2 \theta & \sin^2 \theta & -\sin 2\theta & 0 & 0 \\ \sin^2 \theta & \cos^2 \theta & \sin 2\theta & 0 & 0 \\ \sin \theta \cos \theta & -\sin \theta \cos \theta & \cos^2 \theta - \sin^2 \theta & 0 & 0 \\ 0 & 0 & 0 & \cos \theta & -\sin \theta \\ 0 & 0 & 0 & \sin \theta & \cos \theta \end{bmatrix}$$

که  $\theta$  زاویه پیچش الیاف می باشد.  $Q_{ij}$  نیز مولفه های ماتریس سختی در مختصات اصلی می باشند. این ماتریس برحسب خواص مادی ورق در جهات اصلی بصورت زیر بیان می شود:

$$Q = \begin{bmatrix} Q_{11} & Q_{12} & Q_{16} & 0 & 0 \\ Q_{12} & Q_{22} & Q_{26} & 0 & 0 \\ Q_{16} & Q_{26} & Q_{66} & 0 & 0 \\ 0 & 0 & 0 & Q_{44} & Q_{45} \\ 0 & 0 & 0 & Q_{45} & Q_{55} \end{bmatrix} \quad (26)$$

که در آن

$$Q_{11} = \frac{E_1}{1 - \nu_{12}\nu_{21}}, \quad Q_{12} = \frac{\nu_{12}E_2}{1 - \nu_{12}\nu_{21}}, \quad (27)$$

$$Q_{22} = \frac{E_2}{1 - \nu_{12}\nu_{21}}, \quad Q_{66} = G_{12},$$

$$Q_{44} = G_{13}, \quad Q_{55} = G_{23}, \quad \nu_{21}E_1 = \nu_{12}E_2$$

در عبارات فوق ( $E_i, G_{ij}, \nu_{ij}$ ) مدول یانگ، مدول برشی و ضریب پواسون هستند. اندیس ۱ نیز بیانگر جهت الیاف می باشد.

#### ۴- دستگاه معادلات مجزا

شکل تضعیف یافته گالرکین معادله تعادل استاتیکی که مستقیماً از اصل همپلتون استخراج می شود بصورت زیر بیان می شود:

$$\int_{\Omega} \delta \varepsilon^T \sigma d\Omega - \int_{\Omega} \delta u^T b d\Omega - \int_{\Gamma_f} \delta u^T \bar{t} d\Gamma = 0 \quad (28)$$

که  $b$  نیروی جسمی وارد بر ورق و  $\bar{t}$  بردار کشش سطحی وارد بر مرزهای طبیعی ورق هستند. با جاگذاری روابط (۲۰) تا (۲۲) در معادله تعادل فوق خواهیم داشت:

$$\int_{\Omega} \delta (zLw)^T c (zLw) d\Omega - \int_{\Omega} \delta (L_u w)^T b d\Omega - \int_{\Gamma_f} \delta (L_u w)^T \bar{t} ds = 0 \quad (29)$$

$$\begin{cases} F_j = F_j - K_{ij}\bar{u} \\ F_i = \bar{u}_i \end{cases} \quad (41)$$

عمودی در راستای ضخامت) باشد، نیروی گره ای را می توان بصورت زیر تعریف نمود [۱۵].

$$\begin{cases} K_{ji} = K_{ij} = 0 \\ K_{ii} = 1 \end{cases} \quad (42)$$

$$f_i = h \int_A \varphi_i b_z dA \quad (36)$$

### ۵- اعمال شرایط مرزی اجباری

بکارگیری روش RPIM باعث می گردد که شرایط مرزی مشابه روش اجزاء محدود اعمال گردد [۱۸ و ۱۹]. معادله تعادل در شرایط استاتیکی فرم عمومی ماتریسی رابطه (۳۳) را دارد. شرایط مرزی اجباری روی مرزهای اجباری ( $\Gamma_u = \Gamma_w + \Gamma_\theta$ ) را می توان به شکل زیر نمایش داد:

$$\tilde{u} = \bar{u} \quad (37)$$

که  $\bar{u}$  بردار بست که شامل خیز و چرخش از قبل تعریف شده (با توجه به نوع مرز) روی مرز اجباری ورق می باشد. این بردار بصورت زیر بیان می شود:

$$\tilde{u} = L_b w \quad (38)$$

که  $L_b$  بردار اپراتورهای دیفرانسیلی بوده و بصورت زیر تعریف می شود:

برای مرز گیر دار

$$L_b = \left\{ \begin{array}{c} 1 \\ \frac{\partial}{\partial n} \end{array} \right\} \quad (39)$$

برای مرز مفصلی

$$L_b = \left\{ \begin{array}{c} 1 \\ 0 \end{array} \right\} \quad (40)$$

شرط مرزی  $\tilde{u}_i = \bar{u}_i$  که بر روی گره  $i$  اعمال می گردد را در نظر گرفته می شود. برای اعمال این شرط مرزی، تمامی سطرها و ستونهای مربوط به گره  $i$  را صفر در نظر گرفته، به غیر از  $K_{ii}$  که برابر یک در نظر گرفته می شود. آنگاه ماتریس نیرو بصورت زیر اصلاح می شود.

### ۶- تعیین پارامترهای روش RPIM

در تعیین پارامترهای روش RPIM عوامل زیر موثر هستند:

۱- شبکه بندی زمینه

۲- تعداد نقاط گاوس

۳- مرتبه توابع چند جمله ای ۴

۴- شعاع ناحیه اثر ۵

۵- پارامتر q

۶- پارامتر c، که در ادامه به شرح زیر بیان می شوند.

۱- **شبکه بندی زمینه:** برای انتگرال گیری عددی و توزیع نقاط گاوس بکار می رود و معمولاً تعداد تقسیمات آن در هر بعد یکی کمتر از تقسیمات در نظر گرفته شده برای ایجاد گره ها است.

۲- **تعداد نقاط گاوس:** هرچه تعداد نقاط گاوس بیشتر باشد، دقت انتگرال گیری بهتر می شود ولی افزایش این نقاط باعث خواهد شد محاسبات سنگین گردد. لذا در مقاله حاضر تعداد این نقاط برای هر سلول انتگرال گیری ۱۶ عدد در نظر گرفته شده است [۲۰].

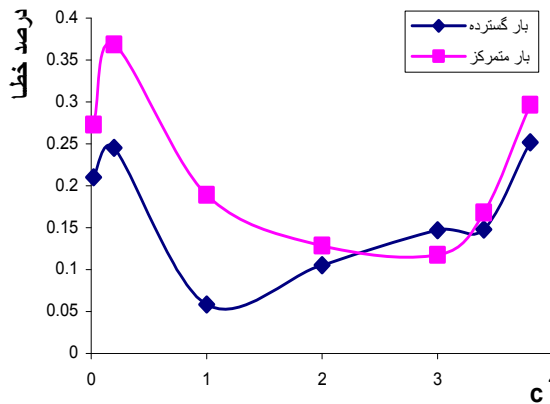
۳- **مرتبه توابع چند جمله ای:** مرتبه این توابع تاثیر به سزایی در همگرایی جوابها و جلوگیری از معکوس ناپذیر شدن ماتریس ممان دارد. اگر درجه چند جمله ای ۳ در نظر گرفته شود این امکان وجود دارد که ماتریس ممان معکوس ناپذیر گردد ولی با توجه به بررسی های صورت گرفته انتخاب  $m=6$  گزینه مناسب و قابل قبولی است [۱۵].

۴- **شعاع ناحیه اثر:** پیشنهادات زیادی درباره ناحیه اثر وجود دارد برای تحلیل ورق ها  $4 \leq d_s \leq 3/5$  ارایه گردیده است و شکل این ناحیه در این مقاله چهار ضلعی در نظر گرفته شده است.

۵- **پارامتر q:** این پارامتر در اکثر مقالات برابر  $1/0.3$  در نظر گرفته شده است [۶] در این قسمت با حل ورق بر اساس تئوری کلاسیک برای مقادیر مختلف q به بررسی مقدار این ضریب پرداخته می شود. با توجه به جدول ۱ و نمودار ۱ مشاهده می شود که با انتخاب پارامتر q بین  $1/5$  تا  $1/5$  می توان به نتایج خوبی دست یافت. در این مقاله  $q = 1/0.3$  در نظر گرفته می شود.

۶- **پارامتر:** رای تعیین این ضریب نیز دوباره ورقی را با تئوری کلاسیک برای مقادیر مختلف c حل کرده و خطاها با یکدیگر مقایسه می شود. لازم به ذکر است که در این حالت  $q = 1/0.3$

در نظر گرفته شده است. با توجه به جدول (۲) و شکل (۲) مشاهده می شود اگر  $C = 2$  فرض شود درصد خطا پایین می آید.



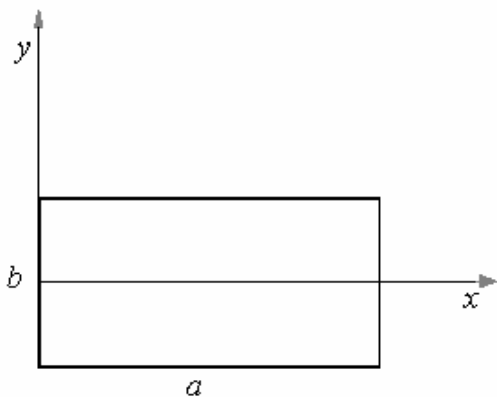
شکل (۳): اثر ضریب C بر روی خطا

### ۷- نتایج عددی

پس از استخراج معادلات و مشخص کردن پارامترهای لازم جهت بکارگیری روش RPIM، حال نوبت به آن می رسد تا با حل چند مثال دقت نتایج و کارایی این روش را بررسی کرده و بتوان از این روش جهت حل مسائلی که تاکنون به آنها پرداخته نشده بهره برد. برای اجرایی کردن روش فوق برنامه ای در محیط نرم افزار Matlab 7.6.0 نوشته شده است [۲۱]. مشخصات ورق قی که به آنالیز آن پرداخته خواهد شد در جدول زیر آمده است.

جدول (۳): مشخصات و خواص ورق ایزوتروپیک

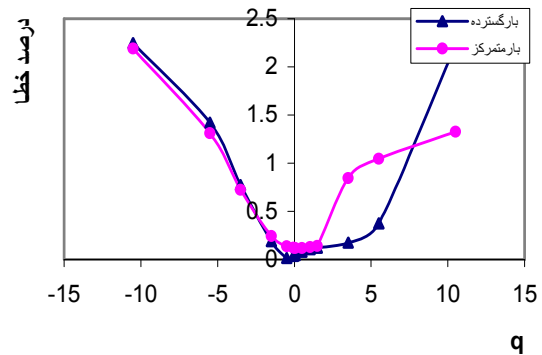
ابعاد ورق (متر)	۱×۱
مدول یانگ (MPa)	۱۰۰۰
ضریب پواسون	۰/۳



شکل (۴): ورق مورد تحلیل

جدول (۱): اثر ضریب q بر روی خطا

مقدار Q	خطا برای بار گسترده	خطا برای بار متمرکز
-۱۰/۵	۲/۲۲۶	۱/۳۲۴
-۵/۵	۰/۳۷۵۵	۱/۰۴۳۷
-۳/۵	۰/۱۷۵۱	۰/۸۴۶
-۱/۵	۰/۱۲۰۲	۰/۱۳۸۹
-۵	۰/۱۰۵۳	۰/۱۲۸۴
-۱۰/۵	۰/۰۷۹۹	۰/۱۱۸۵
۱۰/۵	۰/۰۴۶۹	۰/۱۱۸۳
۰/۵	۰/۰۳۷۷	۰/۱۱۹۹
۱/۰۳	۰/۰۱۳۳	۰/۱۳۶۷
۱/۵	۰/۱۹۰۴	۰/۲۴۲۳
۳/۵	۰/۷۷۴	۰/۷۲۱۸
۵/۵	۱/۴۱۹	۱/۳۱۲۱
۱۰/۵	۲/۲۴۵	۲/۱۸۹۴



شکل (۲): اثر ضریب q بر روی خطا

جدول (۲): اثر ضریب C بر روی خطا

مقدار C	خطا برای بار گسترده	خطا برای بار متمرکز
۰/۰۲	۰/۲۱۰۱	۰/۲۷۲۶
۰/۲	۰/۲۴۵۱	۰/۳۶۸۶
۱	۰/۰۵۸۳	۰/۱۸۹
۲	۰/۱۰۵۳	۰/۱۲۸۴
۳	۰/۱۴۷	۰/۱۱۷۷
۳/۴	۰/۱۴۷۹	۰/۱۶۸۱
۳/۸	۰/۲۵۱۶	۰/۲۹۶۵

که در رابطه فوق  $q$  نیرو،  $b$  ابعاد ورق

$$D = \frac{E h^3}{12(1 - \nu^2)} \quad (45)$$

می باشد. نتایج حاصل در جدول (۴) آمده است. حل دقیق این مثال توسط تیموشنکو مقدار خیز بدون بعد را برابر  $0.00406$  بدست آورده است [۲۲]. همچنین توسط تحلیل به روش اجزاء محدود (FEM)، این مقدار برابر  $0.00405$  حاصل گردیده است [۲۳]. همانگونه که مشاهده می شود در توزیع گره  $900 = 30 \times 30$  نتایج حاصل از تحلیل به روش حاضر نسبت به روش اجزاء محدود از دقت بالاتری برخوردار است.

برای اینکه بتوان نتایج را عمومیت بخشید، خیزها بدون بعد می گردند که در هر قسمت رابطه مربوطه بیان می شود، همچنین در کلیه محاسبات فرمول خطا به صورت زیر است:

$$Error = \frac{\varepsilon_{exat} - \varepsilon_p}{\varepsilon_{exat}} \times 100 \quad (43)$$

### ورق نازک مربعی با تکیه گاه ساده تحت بار گسترده:

بار  $100 \frac{kN}{m}$  را به ورق وارد کرده وضخامت ورق  $0.1$  متر در نظر گرفته می شود. فرمول خیز بدون بعد شده در این حالت به صورت زیر است: [۱۵]

$$\overline{w} = \frac{w_{max} D}{q b^4} \quad (44)$$

جدول (۴): خیز بدون بعد ورق نازک با تکیه گاه ساده تحت بار یکنواخت

گره	۸×۸	۱۰×۱۰	۱۶×۱۶	۲۰×۲۰	۳۰×۳۰
خیز بدون بعد	۰/۰۰۴۰۲۷	۰/۰۰۴۰۳	۰/۰۰۴۰۵	۰/۰۰۴۰۵۸	۰/۰۰۴۰۵۹۹
خطا(%)	۰/۴۲۴۶	۰/۷۱۱۲	۰/۲۸۵۸	۰/۰۵۱۷	۰/۰۰۵۱

جدول (۵): مقادیر خیز ماکزیمم بدون بعد تک لایه ارتوتروپیک مربعی با تکیه گاه ساده تحت بار یکنواخت

گره	۸×۸	۱۰×۱۰	۱۶×۱۶	۲۰×۲۰	۳۰×۳۰
خیز بدون بعد	۰/۰۱۱۴۳	۰/۰۱۱۴۶	۰/۰۱۱۵۵	۰/۰۱۱۵۸۶	۰/۰۱۱۵۹۶
خطا(%)	۱/۴۲۷۲	۱/۱۸۴۹	۰/۴۲۱۲	۰/۱۱۸۳	۰/۰۳۴

جدول (۶): خیز بدون بعد ورق نازک با تکیه گاه ساده تحت بار هیدرو استاتیک

گره	۸×۸	۱۰×۱۰	۱۶×۱۶	۲۰×۲۰	۳۰×۳۰
خیز بدون بعد	۰/۰۰۲۰۲۱۳	۰/۰۰۲۰۱۶	۰/۰۰۲۰۲۴	۰/۰۰۲۰۲۸۹	۰/۰۰۲۰۲۹۹
خطا(%)	۰/۴۲۴۶	۰/۷۱۱۲	۰/۲۸۵۸	۰/۰۵۱۷	۰/۰۰۵۱

جدول (۷): خیز بدون بعد ورق نازک با تکیه گاه ساده تحت بار سینوسی

گره	۸×۸	۱۰×۱۰	۱۶×۱۶	۲۰×۲۰	۳۰×۳۰
خیز بدون بعد	۰/۰۰۲۶۴۱	۰/۰۰۲۵۷۲	۰/۰۰۲۵۷۰	۰/۰۰۲۵۶۸۴	۰/۰۰۲۵۶۸
خطا(%)	۲/۹	۰/۲۳	۰/۱۵	۰/۰۶	۰/۰۵



جدول (۸): مقادیر خیز ماکزیمم بدون بعد تک لایه ارتوتروپیک مربعی با تکیه گاه ساده تحت بار سینوسی

$\frac{b}{a}$	۱/۲	۱/۴	۱/۶	۱/۸	۲
تیموشنکو [۲۲]	۰/۰۱۳۵۳	۰/۰۱۴۸۴	۰/۰۱۵۷۰	۰/۰۱۶۲۰	۰/۰۱۶۵۱
G.R.Liu [۲۴]	۰/۰۱۳۴۴	۰/۰۱۴۷۶	۰/۰۱۵۵۶	۰/۰۱۶۰۳	۰/۰۱۶۳۲
روش حاضر	۰/۰۱۳۵۴	۰/۰۱۴۸۴	۰/۰۱۵۷۶	۰/۰۱۶۱۹	۰/۰۱۶۴۹

جدول (۸) نتایج حاصل از تحلیل ورق ارتوتروپیک را تحت همان شرایط را نشان می دهد. حل دقیق این مثال توسط Reddy ارائه گردیده و مقدار  $0/306$  را برای خیز بدون بعد بدست آورده است [۱۶]. مشاهده می شود که در توزیع گره ای  $20 \times 20 = 400$ ، روش حاضر جوابی عیناً برابر با حل دقیق را نتیجه می دهد.

#### ۷- بحث و نتیجه گیری

در این مقاله به بررسی تحلیل ورق های نازک ایزوتروپیک و ارتوتروپیک تحت اثر بار گذاری های مختلف بر اساس روش درون یابی نقاط به کمک توابع پایه شعاعی - چند جمله ای پرداخته شده است. از مزایای این روش می توان به عدم المان بندی ناحیه حل اشاره نمود که در ورق های FEM معمولاً این روش پروسه پیچیده ای تا به دست آوردن جوابهای دقیق دارد همانگونه که مشاهده گردید در تحلیل به روش RPIM نتایج سریعاً همگرا می شوند و در توزیع گره ای پایین (توزیع  $400$  تا  $900$  گره در ناحیه حل) به جوابهای بسیار دقیق (و حتی عیناً برابر حل دقیق) منجر می شود.

#### ۸- مراجع

[۱] کاظم زاده پارسی، م. ج.، "روش انتگرال تکمیلی برای اعمال شرایط مرزی اساسی در روش گالرکین بی المان و کاربرد آن در حل مسائل استاتیکی و دینامیکی"، فرهنگ دانشمند، ۱۳۸۴.

- [2] Monaghan, J. J., "An introduction to SPH", Computer Physics Communications, Vol.48, 1982, pp.89-96.
- [3] Belytschko, T., Lu, Y. Y., Gu, L., "Element-free Galerkin method. International", Journal of Numerical Method in Engineering, Vol. 37, 1994, pp. 229-256.
- [4] Atluri, S.N., Zhu, T., "A new meshless local Petrov-Galerkin (MLPG) approach in computational mechanics", Computational Mechanics, Vol. 22, 1998, pp. 117-127.

همچنین جدول (۵) نتایج حاصل از تحلیل ورق ارتوتروپیک را تحت همان شرایط را نشان می دهد. حل دقیق این مثال توسط Reddy ارائه گردیده و مقدار  $0/543$  را برای خیز بدون بعد بدست آورده است [۱۶]. مشاهده می شود که در توزیع گره ای اندک  $20 \times 20 = 400$ ، روش حاضر به جوابی عیناً برابر با حل دقیق نائل می گردد.

#### ورق مربعی با تکیه گاه ساده با بار هیدرواستاتیک:

در این حالت ورق می شود تحت بار هیدرو استاتیکی زیر تحلیل می شود:

$$q = \frac{q_0 x}{b} \quad (46)$$

معادله بی بعد خیز در این حالت همان معادله (۴۴) است. نتایج در جدول ۶ آمده است. حل دقیق این مثال توسط تیموشنکو [۲۲]، مقدار خیز برابر با  $0/0203$  را نتیجه داده است. مشاهده می شود در تحلیل به روش حاضر، در توزیع گره  $30 \times 30 = 900$  به مقدار  $0/020299$  برای خیز بدون بعد دست می یابیم که دارای خطای بسیار پایینی می باشد.

#### ورق نازک مربعی با تکیه گاه ساده تحت بار سینوسی:

در این حالت ورق تحت بار سینوسی زیر قرار دارد.

$$q = q_0 \sin \frac{\pi x}{a} \sin \frac{\pi}{b} \left( y + \frac{b}{2} \right) \quad (47)$$

در معادله فوق  $q_0 = 100$  نیوتن است و رابطه خیز بدون بعد همان رابطه ۲ می باشد. نتایج در جدول (۷) آمده است. حل دقیق این روش توسط Reddy صورت پذیرفته [۱۶] که نتیجه آن مقدار  $0/02566$  برای خیز بدون بعد بوده است. همچنین

- [14] Schaback, R., Wendland, H., "Characterization and construction of radial basis functions", 2000.
- [15] Liu, GR., "Meshfree methods—moving beyond the Finite Element Method", Boca Raton: CRC Press, 2002.
- [16] Reddy, J. N., "Theory and Analysis of Elastic Plates", Department of Mechanical Engineering Texas A&M University, College Station, 1999.
- [17] Chen, X. L., Liu, G. R., Lim, S. P., "An element free Galerkin method for the free vibration analysis of composite laminates of complicated shape", Composite Structures, Vol. 59, 2003, pp. 279–289.
- [18] Ochoa, O. O., Reddy, J. N., "Finite Element Analysis of Composite Laminates", Kluwer, Netherlands, 1992.
- [19] Reddy, J. N., "Mechanics of Laminated Composite Plates—Theory and Analysis", CRC Press, New York, 1997.
- [20] واردچنی، د. ک.، ترجمه: فائزه توتونیان، "آنالیز عددی"، دانشگاه امام رضا (ع)، ۱۳۸۱.
- [21] استیفن. ج. چاپمن، ترجمه: سعدان زکایی، "برنامه نویسی Matlab برای مهندسين"، دانشگاه خواجه نصیر الدین طوسی، ۱۳۸۶.
- [22] Timoshenko, S., "Theory of plates and shells", second edition, 1959.
- [23] Zienkiewicz, O. C., Taylor, R. L., "The finite element method", fifth edition, Vol. 2, pp. 136.
- [24] Liu, G. R., Chen, X. L., "A Mesh Free Method for static and free vibration analysis of thin plates of complicated shape", Journal of sound and vibration, 2001, pp. 839-855.
- [5] Liu, GR., Gu, YT., "A Point Interpolation Method for two-dimensional solid", Int J Numer Meth Engng Vol. 50, 2001, pp. 937–51.
- [6] Liu, GR., Wang, J G., "A Point Interpolation Meshless Method based on radial basis function", Int J Numer Meth Engng, Vol. 54, 2002, pp. 1623–48.
- [7] Zhao, X., Liu, G. R., Dai, K.Y., Zhong, Z. H., Li, G. Y., Han, X., "Geometric nonlinear of plates and cylindrical shells via a linearly conforming radial point interpolation meyhod", Comput Mech, Vol. 42, 2008, pp. 133-144.
- [8] Krysl, P., Belytschko, T., "Analysis of thin plates by the element-free Galerkin method", Computational Mechanics, Vol. 17, 1996, pp. 26–35.
- [9] Liu, G. R., CHEN, X.L., "A Meshfree Method for static and free vibration analyses of thin plates of complicated shape", journal of sound and vibration, 2001, pp. 839-855.
- [10] Dai, K.Y., Liu, G. R., "Thermomechanical analysis of functionally graded material (FGM) plates using element-free Galerkin method", Computers and structures, Vol. 83, 2005, pp. 1487-1502.
- [11] Chen, X. L., Zhao, Z. Y., Liew, K. M., "Stability of piezoelectric FGM rectangular plates subjected to non-uniformly distributed load, heat and voltage", Advances in Engineering software, Vol. 39, 2008, pp. 121-131.
- [12] Wang, J. G., Liu, G. R., "A point interpolation method based on radial basis function", int. J. Numer. Methodes Engrg. Vol. 54, 2002, pp. 1623-1648.
- [13] Liu, GR., Dai, K Y., MLim, K., Gu Y T., "A radial point interpolation method for simulation of two-dimensional piezoelectric structures", Smart Mater. Struct. Vol. 12, 2003, pp. 171–180.